

Franciszek Fikus, Tadeusz W. Wieczorek
Instytut Metalurgii

OBLICZANIE PARAMETRÓW ELEKTRYCZNYCH WZBUDNIKA
CYLINDRYCZNEJ NAGRZEWNICY ZEWNĘTRZNEJ
Z BOCZNIKIEM MAGNETYCZNYM

Streszczenie. Nagrzewnice indukcyjne w hutnictwie ze szczególnym uwzględnieniem cylindrycznej nagrzewnicy zewnętrznej. Wzory na reaktancję, rezystancję i impedancję układu wsad-wzbudnik z bocznikiem magnetycznym. Posłużono się modelem obliczeniowym, w którym:

- wsad zastąpiono nieskończenie długim walcem o stałej przenikalności magnetycznej i konduktywności,
- wzbudnik zastąpiono cylindrem z folii o grubości pomijalnie małej i wysokości $2h$,
- bocznik magnetyczny zastąpiono cylindrem o $\mu = \infty$, $\sigma = 0$.

Dla rozwiązania zagadnienia elektromagnetycznego wykorzystano "metodę z szeregiem Fouriera" [1].

Wzory na reaktancję i rezystancję wniesioną dla c (c - promień bocznika magnetycznego rys. 1) przechodzą w analogiczne, otrzymane w [2] dla układu wsad-wzbudnik bez bocznika magnetycznego.

1. Wstęp

W hutnictwie coraz szerzej stosuje się nagrzewnice indukcyjne, tj. urządzenia służące do nagrzewania materiałów (wsadów) o dobrej konduktywności. Powoduje to szczególnie widoczne w ostatnim dziesięcioleciu zwiększenie zainteresowania metodami obliczania nagrzewnic. Z powodu stałego powiększania wielkości i mocy pobieranej przez te urządzenia, a tym samym i kosztów eksploatacji, od metod obliczeniowych wymaga się większej dokładności, przy jednocześnie niezbyt dużej pracochłonności.

Rozróżnia się nagrzewnice indukcyjne z bocznikiem magnetycznym i bez bocznika. Boczniki magnetyczne stosowane są w nagrzewnicach:

- 1) w których stosunek długości uzwojenia (wzbudnika) do jego średnicy jest mały,
- 2) przy niskich częstotliwościach.

Problem nagrzewnicy zewnętrznej bez bocznika został rozpatrzony w [2]. Przedmiotem niniejszego artykułu jest obliczenie parametrów elektrycznych układu wsad-wzbudnik cylindrycznej nagrzewnicy zewnętrznej z bocznikiem magnetycznym. Obliczaniu parametrów elektrycznych (impedancji, rezystancji i reaktancji) poświęca się w literaturze światowej corocznie kilka pozycji. Najdokładniejszy sposób obliczania parametrów elektrycznych został

opracowany w ZSRR przez K.M. Machmudowa, A.E. Słuchockiego, W.S. Niemkowa. Przedstawiony artykuł stanowi dalsze udoskonalenie tego podejścia.

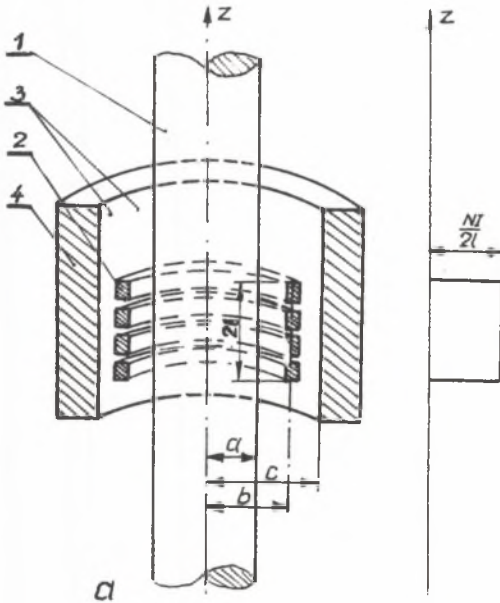
Metoda stosowana w niniejszym artykule bazuje na szeregu Fouriera [1]. Przybliżenie to polega na zastąpieniu pojedynczego wzbudnika nieskończonym zespołem identycznych wzbudników o długościach $2l$ i odstępach $2h$. Korzyścią wynikającą z tego przybliżenia jest możliwość zapisania rozwiązań równań Maxwella za pomocą szeregów. Przybliżenie jest tym lepsze, im większy jest stosunek $2h : 2l$.

2. Potencjał wektorowy układu wsad-wzbudnik z bocznikiem magnetycznym

Potencjał wektorowy układu wsad-wzbudnik z bocznikiem magnetycznym rys. 1b) będzie się obliczać metodą z szeregiem Fouriera [1]. Wzbudnik (1) zasilany jest prądem sinusoidalnym o stałym natężeniu I . Wsad metaliczny (2)

ma postać nieskończenie długiego walca o promieniu a . Przenikalność magnetyczną μ i konduktywność σ uważa się za stałe w całej objętości wsadu^{x)}. Bocznik magnetyczny (3) w postaci cylindra o $\mu = \infty$ i promieniu c jest także nieskończenie długi. Pole magnetyczne styczne od wsadu i wzbudnika nie wnika do boczniaka magnetycznego. W odległości b od osi symetrii znajduje się wzbudnik w postaci nieskończenie wielu cylindrów o wysokościach $2l$ i grubościach pomijalnie małych. Odstępy pomiędzy sąsiednimi cylindrami wynoszą $2h$. Okład prądowy wzbudnika równa się $\frac{NI}{2l} \left[\frac{Az}{m} \right]$, gdzie N jest ilością zwojów wzbudnika na jednostkę długości, natomiast prądy w sąsiednich wzbudnikach są przesunięte w fazie o kąt 180° .

Okład prądowy wzbudnika można zapisać za pomocą cosinus-transformaty Fouriera.



Rys. 1a. Układ wsad-wzbudnik cylindrycznej nagrzewnicy zewnętrznej z bocznikiem magnetycznym

1 - wsad cylindryczny, 2 - wzbudnik, 3 - bocznik magnetyczny, 4 - szczeliny powietrzne

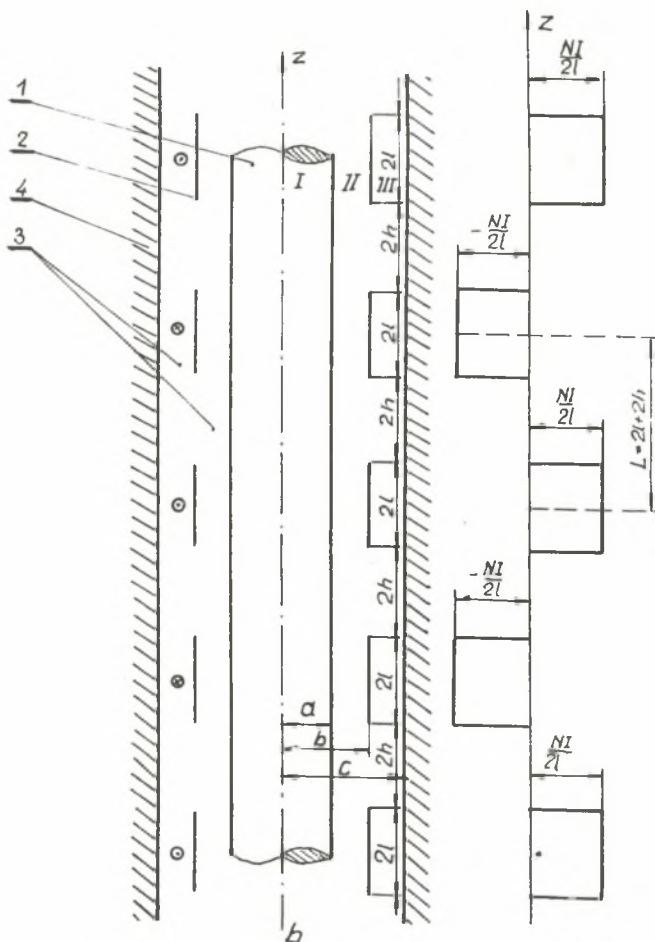
^{x)} Założenie to redukuje zakres zastosowania metody do metali niemagnetycznych. Dla metali magnetycznych należy wsad podzielić na warstwy, w których μ i σ są stałe.

$$J(z) = \sum_{n=1,3,5..}^{\infty} J_n \cos k_n z, \quad (2-1)$$

gdzie

$$J_n = \frac{4}{\pi} \int_0^l J^0 \cos k_n \lambda \, d\lambda = \frac{4J^0}{\pi} \frac{\sin k_n l}{k_n} = \frac{4}{n\pi} \frac{NI}{2l} \sin k_n l; \quad k_n = \frac{n\pi}{T} \quad (2-2)$$

$$T = 2l + 2h$$



Rys. 1b. Układ wsad-wzbudnik cylindrycznej nagrzewnicy zewnętrznej z przynależnym modelem obliczeniowym

1 - wsad cylindryczny, 2 - wzbudnik, 3 - bocznic magnetyczny, 4 - szczeliny powietrzne

Pole elektryczne i magnetyczne układu wsad-wzbudnik, przedstawionego na (rys. 1b), spełnia równania Maxwella

$$\operatorname{rot} \vec{E} = - \frac{\partial \vec{B}}{\partial t} \quad \text{a}$$

$$\operatorname{rot} \vec{H} = \vec{J} \quad \text{b (2-3)}$$

$$\operatorname{div} \vec{B} = 0 \quad \text{c}$$

oraz zależność

$$\vec{B} = \mu \vec{H}, \quad (2-4)$$

gdzie

μ - przenikalność magnetyczna wsadu,

σ - konduktywność wsadu,

natomiast gęstość prądu indukowanego we wsadzie

$$\vec{J} = \sigma \vec{E}. \quad (2-5)$$

Definiuje się potencjał wektorowy \vec{A}

$$\vec{B} = \operatorname{rot} \vec{A} \quad (2-6)$$

oraz

$$\operatorname{div} \vec{A} = 0 \quad (2-7)$$

Zgodnie z [3] potencjał wektorowy \vec{A} spełnia dwuwymiarowe równanie różniczkowe we współrzędnych walcowych (r, z, φ)

$$\left[\frac{\partial^2}{\partial r^2} + \frac{1}{r} \frac{\partial}{\partial r} - \frac{1}{r^2} - k^2 + \frac{\partial^2}{\partial z^2} \right] \vec{A} \varphi(r, z) = 0 \quad (2-8)$$

$$k^2 = j\omega\mu\sigma \quad (2-9)$$

a $\omega = 2\pi f$ pulsacja prądu.

Równanie (2-8) rozwiązuje się metodą rozdzielania zmiennych

$$A_{\varphi}(r, z) = F_1(r) F_2(z) \quad (2-10)$$

a) Rozwiązanie dla wzbudnika $A_{\varphi}^{S(x)}$

Dla wzbudnika w równaniu (2-8) należy położyć $k^2 = 0$, gdyż $\sigma^S = 0$. Tak więc wykorzystując (2-10), otrzymuje się układ równań

$$\begin{aligned} \left[\frac{d^2}{dr^2} + \frac{1}{r} \frac{d}{dr} - \frac{1}{r^2} - k_n^2 \right] F_1(r) &= 0 & \text{a} \\ \left[\frac{d^2}{dz^2} + k_n^2 \right] F_2(z) &= 0, & \text{b} \end{aligned} \quad (2-11)$$

gdzie k_n^2 - stała rozdzielania zmiennych.

Rozwiązaniem równania (2-11) jest

$$\begin{aligned} A^S(r, z) &= \sum_{n=1,3,5}^{\infty} \left[C_n I_1(k_n r) + D_n K_1(k_n r) \right] \times \\ &\times \left[E_n \sin k_n z + F_n \cos k_n z \right] \end{aligned} \quad (2-12)$$

C_n, D_n, E_n, F_n stałe całkowania.

Ponieważ układ na rys. 1 jest symetryczny względem osi z , więc rozwiązanie (2-12) winno być funkcją parzystą z . Dlatego $E_n = 0$.

Ostatecznie

$$A_{\varphi}^S(r, z) = \sum_{n=1,3,5}^{\infty} \left[C_n I_1(k_n r) + D_n K_1(k_n r) \right] \cos k_n z \quad (2-13)$$

W poszczególnych obszarach obliczeniowych:

Obszar II $0 \leq r \leq b; \quad -\infty \leq z \leq +\infty$

$$A_{\varphi}^{SII}(r, z) = \sum_{n=1,3,5}^{\infty} C_n I_1(k_n r) \cos k_n z, \quad (2-14)$$

ponieważ $K_1(0) = \infty$, a potencjał A_{φ}^{SII} powinien być w tym punkcie skończony.

^{x)} Wielkości elektromagnetyczne związane z poszczególnymi elementami układu będzie się zapisywać z indeksem u góry:

s wzbudnik
w wsad
f bocznik

Obszar III $b \leq r \leq \infty$; $-\infty < z < +\infty$

$$A_{\varphi}^{sIII}(r, z) = \sum_{n=1,3,5}^{\infty} D_n K_1(k_n r) \cos k_n z, \quad (2-15)$$

ponieważ $I_1(\infty) = \infty$, a potencjał A_{φ}^{sIII} powinien być w tym punkcie skończony.

Stałe całkowania równań (2-14) - (2-15) C_n i D_n oblicza się z warunków brzegowych

$$A_{\varphi}^{sII} \Big|_{r=b} = A_{\varphi}^{sIII} \Big|_{r=b} \quad a \quad (2-16)$$

$$(\text{rot}_z A_{\varphi}^{sII} - \text{rot}_z A_{\varphi}^{sIII}) \Big|_{r=b} = \mu_0 J_n \quad b$$

Ponieważ

$$\text{rot}_z A_{\varphi} = \frac{A_{\varphi}}{r} + \frac{\partial A_{\varphi}}{\partial r},$$

więc otrzymuje się ostatecznie

$$C_n = \mu_0 b J_n K_1(k_n b) \quad a \quad (2-17)$$

$$D_n = \mu_0 b J_n I_1(k_n b) \quad b$$

b) Rozwiązanie dla wsadu A_{φ}^W

Dla wsadu w równaniu (2-8) nie można wprowadzić żadnych uproszczeń, dlatego przy uwzględnieniu (2-10) i postępując analogicznie jak w przypadku a), otrzymuje się następujące wyrażenia na potencjał wektorowy

$$A_{\varphi}^W(r, z) = \sum_{n=1,3,5}^{\infty} [E_n I_1(\lambda_n r) + F_n K_1(\lambda_n r)] \cos k_n z, \quad (2-18)$$

gdzie

$$\lambda_n^2 = k_n^2 + k^2 \quad (2-18a)$$

W poszczególnych obszarach obliczeniowych, zgodnie z tym co zostało już powiedziane wyżej, otrzymuje się

Obszar I $0 \leq r \leq a$; $-\infty \leq z \leq +\infty$

$$A_{\varphi}^{WI}(r, z) = \sum_{n=1,3,5}^{\infty} E_n I_1(\lambda_n r) \cos k_n z \quad (2-19)$$

Obszary II i III $a \leq r < \infty$; $-\infty \leq z \leq +\infty$

$$A_{\varphi}^{WII}(r, z) = A_{\varphi}^{WIII}(r, z) = \sum_{n=1,3,5}^{\infty} F_n K_1(k_n r) \cos k_n z, \quad (2-20)$$

bowiem w tych obszarach należy podstawić $k^2 = 0$ ($\sigma^W = 0$).

c) Rozwiązanie dla bocznika A_{φ}^f

W przypadku bocznika należy w równaniu (2-8) także przyjąć $k^2 = 0$, gdyż konduktywność $\sigma^f = 0$. Za pomocą analogicznych rozważań otrzymuje się dla:

Obszarów II i III $0 \leq r \leq c$; $-\infty \leq z \leq +\infty$

$$A_{\varphi}^{fII} = A_{\varphi}^{fIII}(r, z) = \sum_{n=1,3,5}^{\infty} P_n I_1(k_n r) \cos k_n z. \quad (2-21)$$

Obszar dla $r > c$ nie podlega obliczeniom, gdyż nie istnieje tam pole elektromagnetyczne ($\mu^f = \infty$, $\sigma^f = 0$).

Korzystając z zależności (2-14) - (2-21) można napisać równania na potencjały wypadkowe w poszczególnych obszarach obliczeniowych:

$$A_{\varphi}^I(r, z) = \sum_{n=1,3,5}^{\infty} E_n I_1(\lambda_n r) \cos k_n z \quad (2-22)$$

$$A_{\varphi}^{II}(r, z) = \sum_{n=1,3,5}^{\infty} [F_n K_1(k_n r) + P_n I_1(k_n r) + \mu_0 b J_n K_1(k_n b) I_1(k_n r)] \cos k_n z \quad (2-23)$$

$$A_{\varphi}^{III}(r, z) = \sum_{n=1,3,5}^{\infty} [F_n K_1(k_n r) + P_n I_1(k_n r) + \mu_0 b J_n I_1(k_n b) K_1(k_n r)] \cos k_n z. \quad (2-24)$$

Stałe całkowania E_n, F_n, P_n występujące w powyższych równaniach, oblicza się stosując warunki brzegowe, które wyrażają ciągłość funkcji (potencjału) i jej pochodnej na granicach obszarów

$$\begin{aligned} A_{\varphi}^I(r, z) \Big|_{r=a} &= A_{\varphi}^{II}(r, z) \Big|_{r=a} & a \\ \frac{1}{\mu} \operatorname{rot}_z A_{\varphi}^I(r, z) \Big|_{r=a} &= \frac{1}{\mu_0} \operatorname{rot}_z A_{\varphi}^{II}(r, z) \Big|_{r=a} & b \end{aligned} \quad (2-25)$$

$$\text{rot}_z A_{\varphi}^{\text{III}}(r, z) \Big|_{r=c} = 0,$$

skąd otrzymuje się:

$$E_n = \frac{\mu_0 b K_1(k_n b)}{a} \left[\frac{1 + \frac{Q_0(k_n c)}{Q_1(k_n b)}}{\Phi_{n1} - \Phi_{n2} \frac{Q_0(k_n c)}{Q_1(k_n b)}} \right] J_n \quad (2-26)$$

$$F_n = \mu_0 b K_1(k_n b) \Phi_{n1} \left[\frac{1 + \frac{Q_0(k_n c)}{Q_1(k_n b)}}{\Phi_{n1} - \Phi_{n2} \frac{Q_0(k_n c)}{Q_1(k_n b)}} \right] J_n \quad (2-27)$$

$$P_n = \mu_0 b I_1(k_n b) Q_0(k_n c) \left[\frac{\Phi_{n1} + \Phi_{n2} \frac{Q_1(k_n b)}{Q_0(k_n c)}}{\Phi_{n1} - \Phi_{n2} \frac{Q_0(k_n c)}{Q_1(k_n b)}} \right] J_n, \quad (2-28)$$

gdzie

$$Q_m(k_n r) = \frac{K_m(k_n r)}{I_m(k_n r)} \quad a$$

$$\Phi_{n1} = k_n I_1(\lambda_n a) K_0(k_n a) + \lambda_n I_0(\lambda_n a) K_1(k_n a) \quad b \quad (2-29)$$

$$\Phi_{n2} = k_n I_1(\lambda_n a) I_0(k_n a) - \lambda_n I_0(\lambda_n a) I_1(k_n a) \quad c$$

Postać stałej E_n (zgodną z [3]) podano jedynie dla pełniłości wywodu. W dalszym ciągu nie będzie ona wykorzystywana.

3. Rezystancja i reaktancja wnieśiona

Znajomość potencjału wektorowego układu, przedstawionego na (rys. 1) wystarcza do obliczenia jego parametrów elektrycznych. Dla tych obliczeń wygodnie jest przedstawić potencjał wektorowy (2-23) jako sumę:

$$A_{\varphi} = A_{\varphi}^0 + A_{\varphi}^1, \quad (3-1)$$

gdzie

$$A_{\varphi}^0 = \frac{2\mu_0 b N I}{i\pi} \sum_{n=1}^{\infty} \frac{\sin k_n l \cos k_n z}{n} x \quad (3-1a)$$

$$x K_1(k_n b) I_1(k_n b)$$

$$A_{\varphi}^1 = \frac{2\mu_0 b N I}{\pi l} \sum_{n=1,3,5}^{\infty} \frac{\sin k_n l \cos k_n z I_1(k_n b)}{n [\phi_{n1} - \phi_{n2} Q_0(k_n c)]} \times \left\{ K_1(k_n b) \phi_{n2} [2 Q_0(k_n c) + Q_1(k_n b)] + \phi_{n1} Q_0(k_n c) I_1(k_n b) \right\} \quad (3-1b)$$

A_{φ}^1 , jak wynika z (2-9) i (2-18a), jest wielkością zespoloną, więc można napisać

$$A_{\varphi}^1 = \text{Re } A_{\varphi}^1 + j \text{Im } A_{\varphi}^1. \quad (3-2)$$

Napięcie U , przyłożone do wzbudnika, jest zgodnie z [2] sumą następujących wyrażeń:

$$U = I R_1 + j 2\pi\omega b N \int_{-L}^L A_{\varphi}^0 dz + j 2\pi\omega b N \int_{-L}^L \text{Re } A_{\varphi}^1 dz - 2\pi\omega b N \int_{-L}^L \text{Im } A_{\varphi}^1 dz, \quad (3-3)$$

gdzie

R_1 - rezystancja zwoju wzbudnika.

Wykonując całkowanie i dzieląc równanie (3-3) obustronnie przez prąd wzbudnika I , otrzymuje się impedancję układu wsad-wzbudnik

$$Z = R_1 + j 8\pi\mu_0 \omega N^2 b^2 L \sum_{n=1,3,5}^{\infty} \frac{\sin^2 k_n l}{n^2 \pi^2 l} K_1(k_n b) I_1(k_n b) + j 8\pi\mu_0 \omega N^2 b^2 L \sum_{n=1,3,5}^{\infty} \frac{\sin^2 k_n l}{n^2 \pi^2 l} \text{Re } F(\lambda_n a) - 8\pi\mu_0 \omega N^2 b^2 L \sum_{n=1,3,5}^{\infty} \frac{\sin^2 k_n l}{n^2 \pi^2 l} \text{Im } F(\lambda_n a), \quad (3-4)$$

gdzie

$$F(\lambda_n a) = \frac{I_1(k_n b)}{\phi_{n1} - \phi_{n2} Q_0(k_n c)} \left\{ \phi_{n2} K_1(k_n b) [2 Q_0(k_n c) + Q_1(k_n b)] + \phi_{n1} Q_0(k_n c) I_1(k_n b) \right\} \quad (3-5)$$

Równanie (3-4), przedstawiające impedancję układu wsad-wzbudnik, składa się z czterech wyrażań, spośród których dwa są liczbami rzeczywistymi, a dwa urojonymi. Składniki trzeci i czwarty są funkcjami promienia wsadu a i parametru λ_n (2-18a), który z kolei zależy od konduktywności i przenikalności magnetycznej wsadu; są więc one reaktancją i rezystancją wniesioną na skutek wprowadzenia wsadu do wzbudnika. Oznaczać się je będzie X_2' i R_2' . Składnik drugi (urojony) zależy tylko od parametrów wzbudnika b, l , jest więc reaktancją wzbudnika X_1 .

Zgodnie z [4] reaktancja pustego wzbudnika bez uwzględnienia wpływu końców wyraża się wzorem

$$X_{10} = 2\pi \mu_0 \omega b^2 N^2 L \quad (3-6)$$

Uwzględniając więc (3-6) w równaniu (3-4), rezystancję i reaktancję wniesioną oraz reaktancję wzbudnika można zapisać w postaci:

$$X_1 = X_{10} \frac{4}{\pi^2 l} \sum_{n=1,3,5}^{\infty} K_1(k_n b) I_1(k_n b) \frac{\sin^2 k_n l}{n^2} = X_{10} u \quad (3-7)$$

$$X_2 = -X_2' = -X_{10} \frac{4}{\pi^2 l} \sum_{n=1,3,5}^{\infty} \operatorname{Re} F(\lambda_n a) \frac{\sin^2 k_n l}{n^2} = X_{10} v \quad (3-8)$$

$$R_2 = -R_2' = -X_{10} \frac{4}{\pi^2 l} \sum_{n=1,3,5}^{\infty} \operatorname{Im} F(\lambda_n a) \frac{\sin^2 k_n l}{n^2} = X_{10} w, \quad (3-9)$$

gdzie v, w są współczynnikami reaktancji i rezystancji wniesionych, natomiast u jest strukturalnie podobny do współczynnika Nagaoka [4].

Równanie (3-4) przy uwzględnieniu ostatnich zależności przyjmie postać

$$Z = R_1 + R_2 + j[X_1 - X_2] \quad (3-10)$$

4. Współczynniki u, v, w

Dla jawnego wyrażenia współczynników oporów wniesionych u, v, w należy znaleźć część rzeczywistą i urojoną funkcji $F(\lambda_n a)$ - (3-5), gdzie zespolona wielkość λ_n dana jest równaniem (2-18a). Tak więc można napisać

$$\lambda_n = \operatorname{Re} \lambda_n + j \operatorname{Im} \lambda_n = r_n e^{j\alpha_n} \quad (4-1)$$

Zgodnie z [4]

$$I_0(\lambda_n a) = \operatorname{Re} J_0(\lambda_n^* a) - j \operatorname{Im} J_0(\lambda_n^* a) \quad (4-1)$$

$$I_1(\lambda_n a) = \text{Im } J_1(\lambda_n^* a) + j \text{Re } J_1(\lambda_n^* a), \quad (4-3)$$

gdzie

$$\lambda_n^* = r_n e^{j\varphi_n}$$

$$\varphi_n = \frac{\pi}{2} - \alpha_n$$

Toteż $F(\lambda_n a)$ wyraża się wzorem:

$$\text{Re } F(\lambda_n a) = I_1(k_n b) \frac{k_n^2 C_1 C_3 B_1 + r_n^2 C_2 C_4 B_2 + \dots}{k_n^2 B_1 C_1^2 + r_n^2 B_2 C_2^2 + \dots} \quad (4-4)$$

$$\frac{\dots + k_n [C_1 C_4 + C_2 C_3] [\text{Re } \lambda_n B_3 + \text{Im } \lambda_n B_4]}{\dots + 2 k_n C_1 C_2 [\text{Re } \lambda_n B_3 + \text{Im } \lambda_n B_4]}$$

$$\text{Im } F(\lambda_n a) = I_1(k_n b) \frac{k_n [C_2 C_3 - C_1 C_4] x \dots}{k_n^2 B_1 C_1^2 + r_n^2 B_2 C_2^2 + \dots} \quad (4-5)$$

$$\frac{\dots x [\text{Re } \lambda_n B_4 - \text{Im } \lambda_n B_3]}{\dots + 2 k_n C_1 C_2 [\text{Re } \lambda_n B_3 + \text{Im } \lambda_n B_4]}$$

gdzie

$$B_1 = [\text{Re } J_1(\lambda_n^* a)]^2 + [\text{Im } J_1(\lambda_n^* a)]^2 \quad (4-6a)$$

$$B_2 = [\text{Re } J_0(\lambda_n^* a)]^2 + [\text{Im } J_0(\lambda_n^* a)]^2 \quad (4-6b)$$

$$B_3 = \text{Re } J_0(\lambda_n^* a) \text{Im } J_1(\lambda_n^* a) - \text{Re } J_1(\lambda_n^* a) \text{Im } J_0(\lambda_n^* a) \quad (4-6c)$$

$$B_4 = \text{Re } J_0(\lambda_n^* a) \text{Re } J_1(\lambda_n^* a) + \text{Im } J_0(\lambda_n^* a) \text{Im } J_1(\lambda_n^* a) \quad (4-6d)$$

$$C_1 = K_0(k_n a) - I_0(k_n a) Q_0(k_n c) \quad (4-7a)$$

$$C_2 = K_1(k_n a) + I_1(k_n a) Q_0(k_n c) \quad (4-7b)$$

$$C_3 = I_0(k_n a) K_1(k_n b) [Q_1(k_n b) + 2 Q_0(k_n c)] + \quad (4-7c)$$

$$+ I_1(k_n b) K_0(k_n a) Q_0(k_n c)$$

$$C_4 = -K_1(k_n b) I_1(k_n a) \left[Q_1(k_n b) + 2 Q_0(k_n c) \right] + \quad (4-7d)$$

$$+ I_1(k_n b) K_1(k_n a) Q_0(k_n c)$$

Występujące we wzorach (4-4) i (4-5) argumenty funkcji Bessela są rzeczywiste i duże (≥ 6), dlatego można tu stosować wzory asymptotyczne dla funkcji Bessela [5].

Otrzymuje się więc:

$$\begin{aligned} \operatorname{Re} F(\lambda_n a) &= \\ &= \frac{1}{128b^3 k_n^3} \frac{k_n^2 \left[e^{-ak_n(8ak_n-1)} \left[e^{ck_n(8ck_n+1)} + e^{-ck_n(8ck_n-1)} \right] - e^{-ck_n(8ck_n-1)} \dots \right.}{k_n^2 \left[e^{-ak_n(8ak_n-1)} \left[e^{ck_n(8ck_n+1)} + e^{-ck_n(8ck_n-1)} \right] - \dots \right.} \\ &\dots - 1 \left[e^{ak_n(8ak_n+1)} + e^{-ak_n(8ak_n-1)} \right] \left[e^{-k_n(a+c)} (8ak_n-1) (8ck_n-1) \times \dots \right. \\ &\dots - e^{-ck_n(8ck_n-1)} \left[e^{ak_n(8ak_n+1)} + e^{-ak_n(8ak_n-1)} \right]^2 + \dots \\ &\dots \times \left[e^{bk_n(8bk_n-3)} + e^{-bk_n(8bk_n+3)} \right]^2 + e^{-bk_n(8bk_n+3)} \left[e^{ak_n(8ak_n+1)} + \dots \right. \\ &\dots + r_n^2 \left[e^{-ak_n(8ak_n+3)} \left[e^{ck_n(8ck_n+1)} + \dots \right. \right. \\ &\dots + e^{-ak_n(8ak_n-1)} \left[e^{-bk_n(8bk_n+3)} \left[e^{ck_n(8ck_n+1)} + e^{-ck_n(8ck_n-1)} \right] + \dots \right. \\ &\dots + e^{-ck_n(8ck_n-1)} \left[e^{ak_n(8ak_n-3)} + e^{-ak_n(8ak_n+3)} \right]^2 + \dots \\ &\dots + 2 e^{-ck_n(8ck_n-1)} \left[e^{bk_n(8bk_n-3)} + e^{-bk_n(8bk_n+3)} \right] + r_n^2 \left[e^{-ak_n(8ak_n+3)} \left[e^{ck_n(8ck_n+1)} \right. \right. \\ &\dots + e^{-ck_n(8ck_n-1)} \left[e^{ak_n(8ak_n-3)} + e^{-ak_n(8ak_n+3)} \right]^2 + \dots \\ &\dots \times (8ck_n+1) + e^{-ck_n(8ck_n-1)} + e^{-ck_n(8ck_n-1)} \left[e^{ak_n(8ak_n-3)} + e^{-ak_n(8ak_n+3)} \right] \times \dots \\ &\dots + 2 k_n \operatorname{Re} \lambda_n e^{-2ak_n(8ak_n-1)} (8ak_n-1) (8ak_n+3) \times \dots \end{aligned}$$

$$\frac{\dots x \left[e^{-k_n(a+c)} (8ak_n+3)(8ck_n-1) \left[e^{bk_n(8bk_n-3)+e^{-bk_n(8bk_n+3)}} \right]^2 - e^{-bk_n(8bk_n+3)} x \dots \right]}{\dots x \left[e^{ck_n(8ck_n+1)} + e^{-ck_n(8ck_n-1)} \right]^2 - \dots}$$

$$\frac{\dots x \left[e^{ak_n(8ak_n-3)+e^{-ak_n(8ak_n+3)}} \right] \left[e^{-bk_n(8bk_n+3)} \left[e^{ck_n(8ck_n+1)+e^{-ck_n(8ck_n-1)}} \right] + \dots \right]}{\dots - e^{-2ck_n(8ck_n-1)} x \dots}$$

$$\frac{\dots + 2e^{-ck_n(8ck_n-1)} \left[e^{bk_n(8bk_n-3)+e^{-bk_n(8bk_n+3)}} \right] + k_n \operatorname{Re} \lambda_n \left[e^{-ak_n(8ak_n-1)} x \dots \right]}{\dots x \left[e^{ak_n(8ak_n+1)} + e^{-ak_n(8ak_n-1)} \right] x \dots}$$

$$\frac{\dots x \left[e^{ck_n(8ck_n+1)+e^{-ck_n(8ck_n-1)}} - e^{-ck_n(8ck_n-1)} \left[e^{ak_n(8ak_n+1)+e^{-ak_n(8ak_n-1)}} \right] x \dots \right]}{\dots x \left[e^{ak_n(8ak_n-3)} + e^{-ak_n(8ak_n+3)} \right] + \dots}$$

$$\frac{\dots x \left[e^{-k_n(a+c)} (8ak_n+3)(8ck_n-1) \left[e^{bk_n(8bk_n-3)+e^{-bk_n(8bk_n+3)}} \right]^2 - e^{-bk_n(8bk_n+3)} x \dots \right]}{\dots + e^{-ck_n(8ck_n-1)} x \dots}$$

$$\frac{\dots x \left[e^{ak_n(8ak_n-3)+e^{-ak_n(8ak_n+3)}} \right] \left[e^{-bk_n(8bk_n+3)} \left[e^{ck_n(8ck_n+1)+e^{-ck_n(8ck_n-1)}} \right] + \dots \right]}{\dots x \left[e^{ck_n(8ck_n+1)} + e^{-ck_n(8ck_n-1)} \right] x \dots}$$

$$\frac{\dots + 2e^{-ck_n(8ck_n-1)} \left[e^{bk_n(8bk_n-3)+e^{-bk_n(8bk_n+3)}} \right] + \left[e^{-ak_n(8ak_n+3)} \left[e^{ck_n(8ck_n+1)+\dots} \right] \right]}{\dots x \left[e^{-ak_n(8ak_n-1)} x \dots \right]}$$

$$\frac{\dots + e^{-ck_n(8ck_n-1)} \left[e^{-ck_n(8ck_n-1)} \left[e^{ak_n(8ak_n-3)+e^{-ak_n(8ak_n+3)}} \right] \right] e^{-bk_n(8bk_n+3)} x \dots}{\dots x \left[e^{ak_n(8ak_n-3)} + e^{-ak_n(8ak_n+3)} \right] - \dots}$$

$$\begin{aligned}
 & \dots x \frac{[e^{ak_n(8ak_n+1)} + e^{-ak_n(8ak_n-1)}] [e^{-bk_n(8bk_n+3)} e^{ck_n(8ck_n+1)} + e^{-ck_n(8ck_n-1)}] + \dots}{\dots - e^{-ak_n(8ak_n+3)} x \dots} \\
 & \dots + 2 e^{-ck_n(8ck_n-1)} [e^{bk_n(8bk_n-3)} + e^{-bk_n(8bk_n+3)}] + e^{-k_n(a+c)} (8ak_n-1) x \dots \\
 & \dots x [e^{ak_n(8ak_n+1)} + \dots \\
 & \dots x (8ck_n-1) [e^{bk_n(8bk_n-3)} + e^{-bk_n(8bk_n+3)}]^2 \\
 & \dots + e^{-ak_n(8ak_n-1)}] \Bigg] \tag{4-8}
 \end{aligned}$$

Im $F(\lambda_n a) =$

$$\begin{aligned}
 & = - \frac{k_n I_n \lambda_n}{128 b_n^3 k_n} \frac{[e^{-ak_n(8ak_n+3)} [e^{ck_n(8ck_n+1)} + e^{-ck_n(8ck_n-1)}] + e^{-ck_n} x \dots]}{k_n^2 [e^{-ak_n(8ak_n-1)} [e^{ck_n(8ck_n+1)} + e^{-ck_n(8ck_n-1)}] - \dots} \\
 & \dots x (8ck_n-1) [e^{ak_n(8ak_n-3)} + e^{-ak_n(8ak_n+3)}] [e^{-k_n(a+c)} (8ak_n-1) x \dots \\
 & \dots - e^{-ck_n(8ck_n-1)} [e^{ak_n(8ak_n+1)} + e^{-ak_n(8ak_n-1)}]^2 + \dots \\
 & \dots x (8ck_n-1) [e^{bk_n(8bk_n-3)} + e^{-bk_n(8bk_n+3)}]^2 + e^{-bk_n(8bk_n+3)} x \dots \\
 & \dots + r_n^2 [e^{-ak_n(8ak_n+3)} [e^{ck_n(8ck_n+1)} + \dots \\
 & \dots x [e^{ak_n(8ak_n+1)} + e^{-ak_n(8ak_n-1)}] [e^{-bk_n(8bk_n+3)} [e^{ck_n(8ck_n+1)} + \dots \\
 & \dots + e^{-ck_n(8ck_n-1)}] + [e^{ak_n(8ak_n-3)} + e^{-ak_n(8ak_n+3)}] e^{-ok_n(8ck_n-1)}]^2 + \dots \\
 & \dots + e^{-ck_n(8ck_n-1)}] + 2 e^{-ck_n(8ck_n-1)} [e^{bk_n(8bk_n-3)} + e^{-bk_n(8bk_n+3)}] \Bigg] - \dots \\
 & \dots + 2 k_n \operatorname{Re} \lambda_n [e^{-2ak_n(8ak_n-1)(8ak_n+3)} x \dots
 \end{aligned}$$

$$\begin{aligned}
 & \dots - \frac{e^{-ak_n(8ak_n-1)} [e^{ck_n(8ck_n+1)} + e^{-ck_n(8ck_n-1)}] - e^{-ck_n(8ck_n-1)} e^{ak_n(8ak_n+1)} + \dots}{\dots x [e^{ck_n(8ck_n+1)} + e^{-ck_n(8ck_n-1)}]^2 - e^{-2ck_n(8ck_n-1)} x \dots} \\
 & \dots + e^{-ak_n(8ak_n-1)} \left[e^{-k_n(a+c)} (8ak_n+3)(8ck_n-1) [e^{bk_n(8bk_n-3)} + e^{-bk_n(8bk_n+3)}]^2 - \dots \right. \\
 & \left. \dots x [e^{ak_n(8ak_n+1)} + e^{-ak_n(8ak_n-1)}] [e^{ak_n(8ak_n-3)} + e^{-ak_n(8ak_n+3)}] + \dots \right. \\
 & \dots - e^{-bk_n(8bk_n+3)} [e^{ak_n(8ak_n-3)} + e^{-ak_n(8ak_n+3)}] [e^{-bk_n(8bk_n+3)} [e^{ck_n(8ck_n+1)} + \dots \\
 & \dots + e^{-ck_n(8ck_n-1)}] [e^{ck_n(8ck_n+1)} + e^{-ck_n(8ck_n-1)}] [e^{-ak_n(8ak_n-3)} x \dots \\
 & \dots + e^{-ck_n(8ck_n-1)}] + 2 e^{-ck_n(8ck_n-1)} [e^{bk_n(8bk_n-3)} + e^{-bk_n(8bk_n+3)}] \left. \right] \\
 & \dots x \left[e^{ak_n(8ak_n-3)} + e^{-ak_n(8ak_n+3)} - e^{-ak_n(8ak_n+3)} [e^{ak_n(8ak_n+1)} + e^{-ak_n(8ak_n-1)}] \right]
 \end{aligned}$$

(4-9)

Na podstawie równań (4-8) i (4-9) można obliczyć współczynniki v , w oporów wnoszonych (3-8), (3-9), natomiast współczynnik u (3-7) przybiera postać

$$u = \frac{4}{\pi^2} \sum_{n=1,3,5}^{\infty} \frac{8bk_n+3}{128b^3k_n^3} \left[8bk_n - 3 + e^{-2bk_n(8bk_n+3)} \right] x \frac{\sin^2 k_n l}{n^2} \quad (4-10)$$

5. Podsumowanie

Uwzględniając (4-8) - (4-10), w równaniach (3-7) - (3-9) otrzymuje się ostatecznie wzory na reaktancję i rezystancję wniesioną, a tym samym i impedancję układu wsad-wzбудnik z bocznikiem magnetycznym.

Wzory te po dokonaniu przejścia granicznego ($c \rightarrow \infty$), co odpowiada zaniedbaniu bocznika magnetycznego w układzie Na (rys. 1), przechodzą w analogiczne, otrzymane w [2].

Równania na reaktancję i rezystancję wniesioną zostały otrzymane przy pomocy "metody z szeregiem Fouriera" [1]. Metoda ta jak wykazano w [2] upraszcza poważnie obliczenia (zg. z [2] uwzględnienie trzech wyrazów szeregu Fouriera daje już dobrą dokładność).

W związku z powyższym otrzymane tu wzory na opory wnoszone po stabelaryzowaniu mogą być wykorzystywane dla obliczeń technicznych.

LITERATURA

- [1] Fikus F.: Pole magnetyczne w cylindrycznych nagrzewnicach indukcyjnych o skończonej długości. Zeszyty Naukowe Politechniki Śląskiej, Hutnictwo 1974, z. 4.
- [2] Fikus F., Wieczorek T.W.: Parametry elektryczne układu wsad-wzbudnik cylindrycznej nagrzewnicy zewnętrznej. Archiwum Elektrotechniki Z. 4, t. XXIV, 1975.
- [3] Lavers K.D., Biringer P.P.: An analysis of the corless induction furnace, axial distribution of electric and magnetic fields. Elektrowar-me 1971 nr 4.
- [4] Machmudow K.M., Słuchocki A.E.: Rasczet elektriceskich parametrov nagriewatielnych induktorow metodom nawlediennych EDS. Trudy WNII TWCZ 1970, wyp. 11.
- [5] Korniejew W.G.: Wwiedienie w teoriu besslewych funkcji, Moskwa 1971.

ВЫЧИСЛЕНИЕ ПАРАМЕТРОВ ЭЛЕКТРИЧЕСКОГО ИНДУКТОРА ЦИЛИНДРИЧЕСКОГО ВНЕШНЕГО НАГРЕВАТЕЛЯ С МАГНИТНЫМ ШУНТОМ

Р е з ю м е

Индукционные нагревательные устройства в металлургии в особенности цилиндрическая нагревательная внешняя установка. Уравнения для реактанции, резистанции системы индуктор-загрузка с магнитным шунтом. Вычислительная модель, в которой:

- загрузка заменена бесконечно длинным цилиндром,
- индуктор замен цилиндром бесконечно малой толщины и высоты $2h$
- магнитный шунт заменен цилиндром в котором $\mu = \infty$, $\sigma = 0$.

Для вычисления векторных потенциалов использован "метод с рядом Фурье [1]

Уравнения вносимых реактанции и резистанции для $s \rightarrow \infty$ (s - радиус магнитного шунта рис. 1 переходят в аналогичные полученные в [2] для системы индуктор-загрузка без магнитного шунта.

THE PARAMETERS ELECTRICAL EVOLUTION OF THE INDUCTOR OF THE OUTSIDE CYLINDRICAL HEATING INDUCTOR-CHARGE SYSTEM WITH FERROMAGNETIC PITH

S u m m a r y

Heating inductors in metallurgy in particular the outside cylindrical inductor-charge system. Equations of the introduced reactanses, resistances and impedances of the inductor-charge system with ferromagnetic pith.

The mathematical model where:

- charge is replaced by nonmagnetic cylinder with great length
- inductor is replaced by infinite thin cylinder about $2h$ highness
- ferromagnetic pith is replaced by cylinder about $\mu = \infty$, $\sigma = 0$.

Based upon "the method with Fourier series" [1], the vector potential is calculated.

Equations of the introduced reactances and resistances for $c \rightarrow \infty$ (c - radius of a ferromagnetic cylinder) are equivalent with the obtained in [2] for a corneless inductor-charge system.